

北大 大学院 学生員 ○山口 晴幸
 北大 工学部 正員 三田地 利之
 北大 工学部 正員 北郷 繁

1. まえがき 粘性土のクリープ特性に関する、実験的・理論的にかなり多くの研究がなされて来ている。著者らは、等方圧密軸圧応力条件下での粘性土のクリープ特性に与えるクリープ応力の載荷方法、初期クリープ応力の強さおよび初期クリープ応力の載荷期間の影響を調べ、また、クリープ試験と定ひずみ速度試験との対応性を実験的に検討したので、その結果をここに報告する。

2. 実験方法 本実験で用いた試料土の物理的性質は L.L. 53.0%, P.I. 21.4%, G.S. 2.67 である。泥水状から予圧密法によって作成した径 50mm, 高さ 120mm の円筒供試体を $\sigma_3 = 2 \text{ kg/cm}^2$ で等方圧密した後、クリープ試験は非排水状態で、一定のクリープ応力によるクリープ破壊に至る single creep loading test (SC-T) とある時間一定の初期クリープ応力を載荷した後、 0.2 kg/cm^2 の偏差応力を 15 分間隔で段階的に増分載荷して破壊に至らしめる incremental creep loading (IC-T) を実施した。さらに、クリープ過程において時間と共に変化するひずみ速度効果を評価するため、定ひずみ速度試験 (C-T) を行なった。表-1 は、実験条件を示す。

single creep loading SC-T	incremental creep loading IC-T
initial creep stress level	loading period
$\sigma_0 (\sigma_0 - \sigma_3)/15 (\%)$	
31.3 (0.55)	1 week (1W)
57.4	1 week
57.4 (1.0)	1 day (1D)
57.4	15 min (15M)
89.3 (15.7)	1 week

table-1 test condition

incremental creep loading

stress level (1W-15M) 89.3%

(1D-15M) 57.4

(1W-15M) 57.4

(15M-15M) 57.4

(1W-15M) 31.3

(1D-15M) 31.3

(1W-15M) 31.3

(15M-15M) 31.3

(1W-15M) 31.3

[$\dot{\epsilon}_f \cdot t_f = \text{const.}$ の関係] クリーープ破壊時におけるヒズミ速度($\dot{\epsilon}_f$)と破壊までに至る時間(t_f)との間にには $\dot{\epsilon}_f \cdot t_f = \text{const.}$ という関係が報告されている。^{3), 4)} 本実験でもクリープ応力の載荷方法、初期クリープ応力の載荷期間およびクリープ応力の強さにかかわらず Fig.-3 に示すように $\dot{\epsilon}_f \cdot t_f = \text{const.}$ の関係が得られた。また、この関係は定ひずみ速度の場合にも適用され、ほぼ同一の直線で表わされることがわかる。つまり、 $\dot{\epsilon}_f \cdot t_f = \dot{\epsilon} \cdot t_f = \text{const.}$ この関係は破壊時におけるヒズミ(ϵ_f)が既によらずほぼ一定の値を取ることを意味し、定ひずみ速度の場合には、 const. が直接、破壊ヒズミ ϵ_f を示す。これに対する実験結果が Fig.-3 中に示してある。このことは、また、Mitchell のクリープ方程式 $\dot{\epsilon} = A e^{\alpha \theta} (t/t_c)^m$ を破壊時に適用しクリープ曲線の形状を規定する定数 m を 1 に近似することにより、同様の関係が導かれる。^{5), 4), 7)}

[$\log \dot{\epsilon} \propto \theta$ の関係] $\dot{\epsilon} = A e^{\alpha \theta} (t/t_c)^m$ において $\log \dot{\epsilon}$ と θ の関係を規定する定数 α は Fig.-4 に示すようにクリープ応力の増加に対するヒズミ速度の増加割合を示す、土に固有な値であると言わせている。^{7), 9)} Fig.-4 の破線は定ひずみ速度試験から得た直線でありこの勾配もクリープの場合とほぼ同じであることは興味深い。一方、Fig.-5 は段階載荷によるみかけのクリープ定数 α' を示しており、 α' は主に載荷期間の影響を受け、また、初期クリープ応力の強さは工の構造を "brittle" な性質にし、これら要素と段階的に増分載荷した応力のかぶね合せの影響により $\alpha' > \alpha$ になるものと考えられる。初期クリープ応力が小さく、その載荷期間の短かい、(IC-T) の場合には (SC-T) の場合と一致する結果が得られた。

[有効応力経路] (SC-T), (IC-T) および (C-T) の結果を有効応力を表示したのが Fig.-6 である。(SC-T) の場合、左側の破線上の Δ 印はクリープ破壊時における点を示している。一方、間ゲキ水圧の時間的変化を考慮して、瞬間にクリープ応力を載荷したことにより発生した間ゲキ水圧が時間および変形と共に安定な状態に達した間ゲキ水圧で修正したのが右側の \rightarrow 印の点である。このようにすると、ほぼ (C-T) の破壊線附近に達する。また、(IC-T) の場合には、初期クリープ応力の強さおよび載荷期間によらず一直鎖線を表わした破壊線上に位置する。両破壊線の有効内部摩擦角 ϕ' の違いは、載荷方法の影響によるものと思われる。^{2), 8)}

(あとがき) 実験およびデーター整理は本学卒業生、嵯峨君がおび工藤技官に負うところが大きい。

また、文部省科学研究費(一般-B)の補助を受けてたことを記し謝意を表する。

参考文献

- 1). Cooperrand, A.B. Wilson, S.D. : Geotech. Vol. 11, (1951), pp. 251-263
- 2). Sibata, T. & Kanabe, D. : Proc. VII. ICIMFE, Vol. I, (1969) PR 361-367
- 3). Campanella, R.G. & Vaid, Y.P. : Can. Geotech. Vol. II, (1974) pp. 1-10
- 4). 鉄道技術報告, 128号(1960) pp. 1-9
- 5). 土木学会論文集 第202号, (1972) pp. 59-71
- 6). Singh, A. & Mitchell, J.K. : ASCE, Vol. 94, No. SM1, (1968), pp. 21-46
- 7). Singh, A. & Mitchell, J.K. : Proc. Vol. 1, (1969) pp. 374-384, VII. ICIMFE
- 8). 村山, 審査, 聞口 : 破壊研究会報告書, 13号-B, (1971) PR 528-541
- 9). Bishop, A.W. & Lovelbury, M.T. : Proc. VII. ICIMFE, Vol. I, (1969) pp. 29-37
足立正雄訳 : 金属クリープ基礎, 善久.

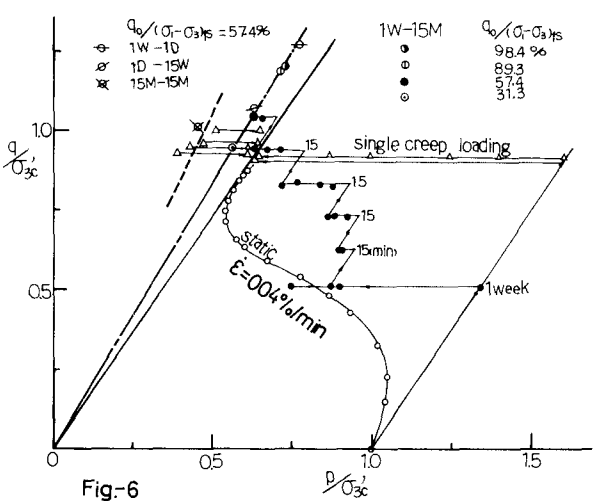
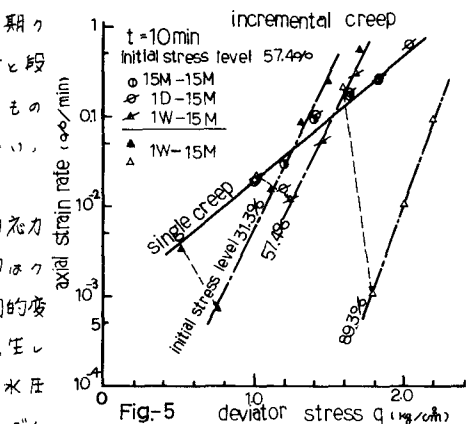
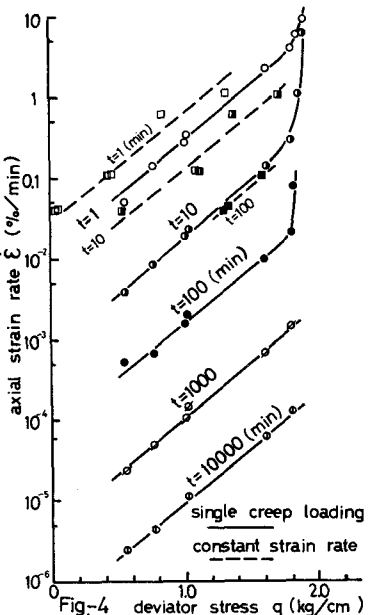


Fig.-6